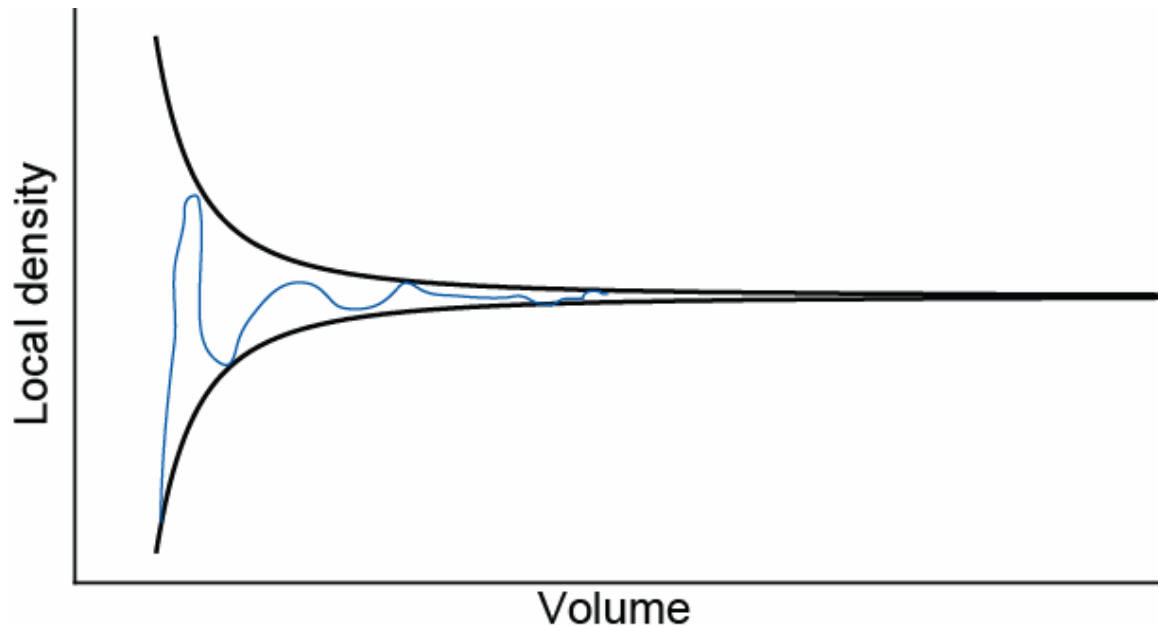
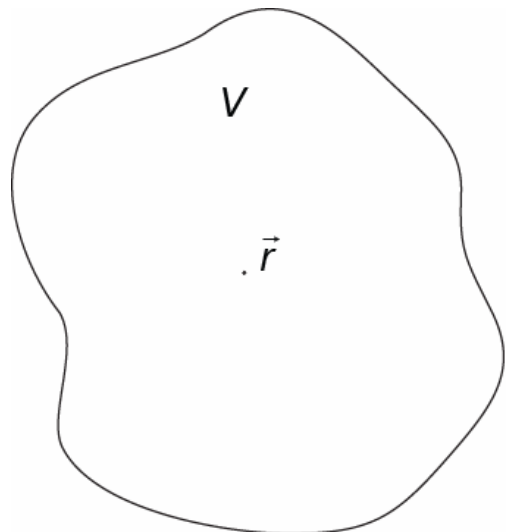


Stromingsprocessen

Lokaal Evenwicht

Vloeistofelement

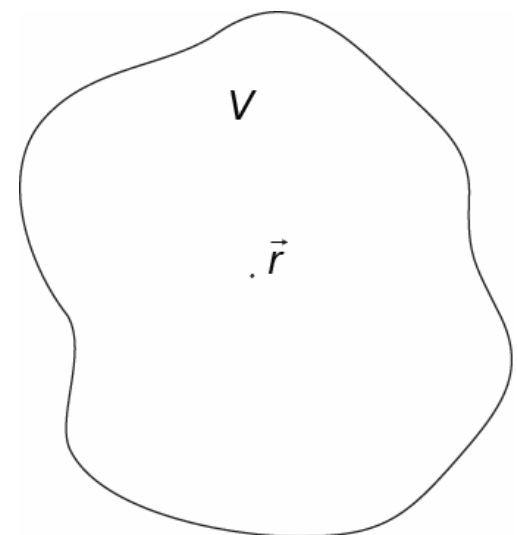
- concentratie $c_V(\vec{r}) = \frac{n(V)}{V} \xrightarrow{V \rightarrow \infty} c(\vec{r})$



Lokaal Evenwicht

Vloeistofelement

- grootte
 - Voorbeeld water
 - $V = (0.1 \mu\text{m})^3 = 10^{-21} \text{ m}^3$
 - Molaire concentratie 55 mol/dm^3
 - Aantal moleculen $\approx 3.3 \cdot 10^7$
 - Fluctuaties in aantal moleculen $\approx 0.02 \%$



Lokaal Evenwicht

Hypothese

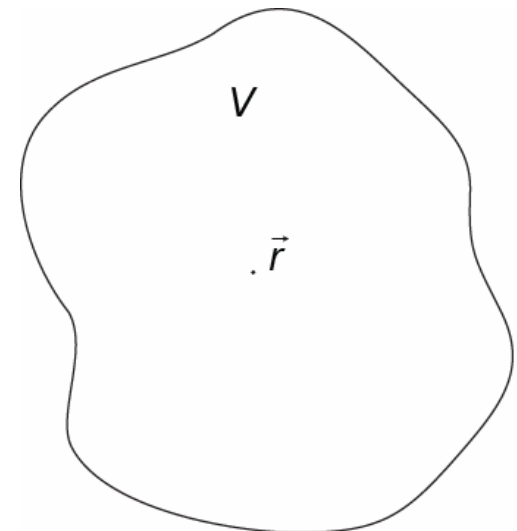
- Thermodynamica geldt binnen vloeistofelement

$$dU = TdS - pdV + \sum_k \mu_k dn_k$$

- in termen van dichthesen

$$du = Tds + \sum_k \mu_k dc_k$$

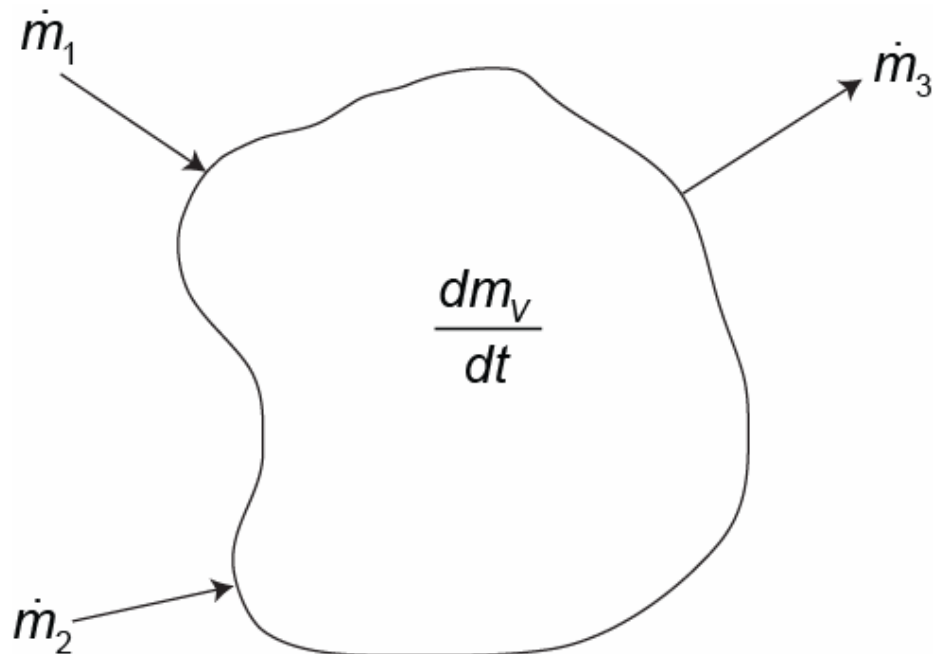
- uitzondering: grote gradiënten



Balansvergelijkingen

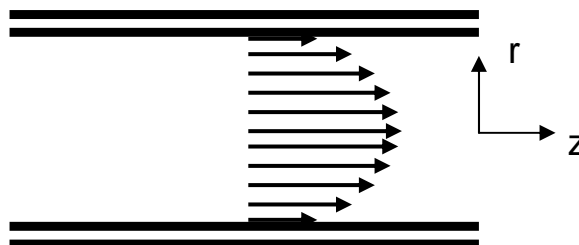
Massabalans $\frac{dm_v}{dt} + \Delta\dot{m}_{\partial V} = 0$

met $\dot{m} = cAv$



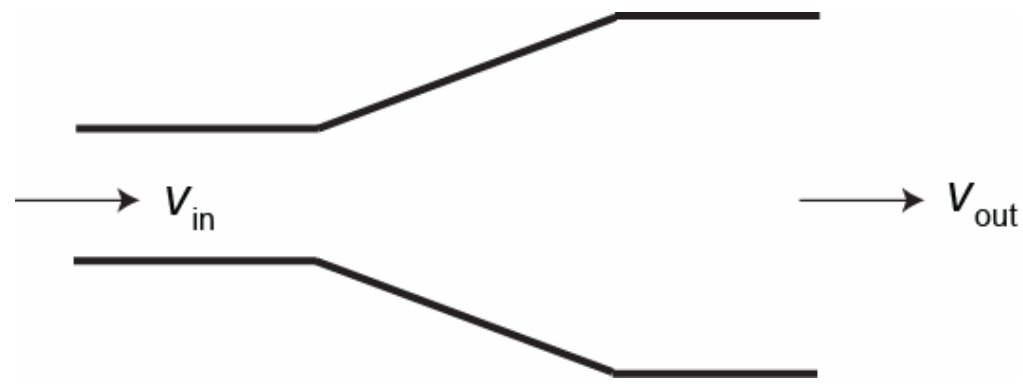
Complicaties:

- chemische reacties
- inhomogeniteit vloeistofsnelheid



Balansvergelijkingen

Massabalans voorbeeld



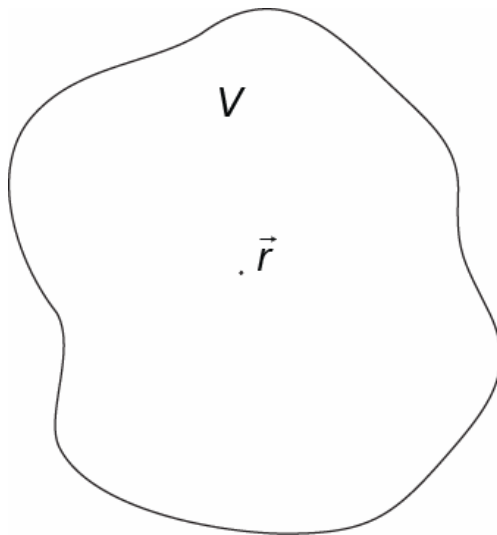
$$\left. \begin{array}{l} \dot{m}_1 = cA_1v_1 \\ \dot{m}_2 = cA_2v_2 \end{array} \right\} \Rightarrow \frac{v_2}{v_1} = \frac{A_1}{A_2}$$

Balansvergelijkingen

Energiebalans

$$\frac{dm_v u}{dt} + \Delta \left[\left(h + \frac{1}{2} v^2 + gh \right) \dot{m}_{\partial V} \right] = \dot{Q} + \dot{W}$$

Geen expansie-arbeid



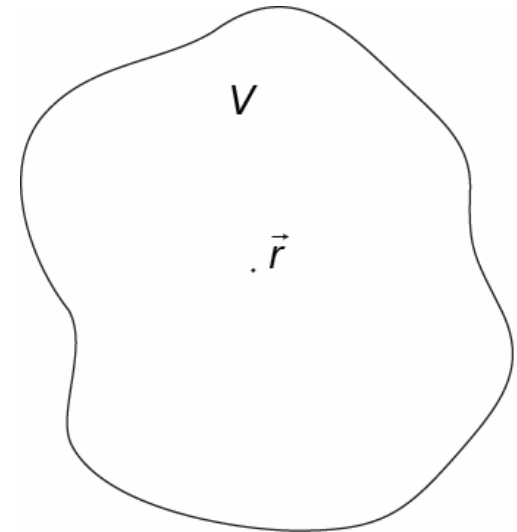
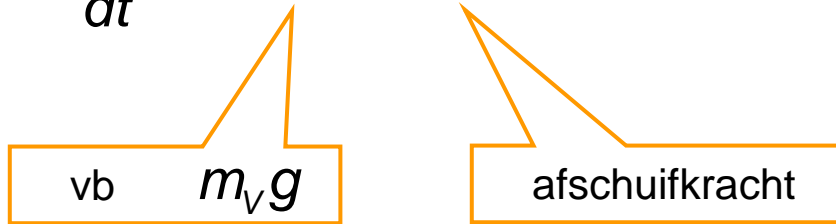
Complicaties:

- chemische reacties
- inhomogeniteit vloeistofsnelheid

Balansvergelijkingen

Impulsbalans

$$\frac{dm_v v}{dt} = F_{\text{volume}} + F_{\text{wand}}$$



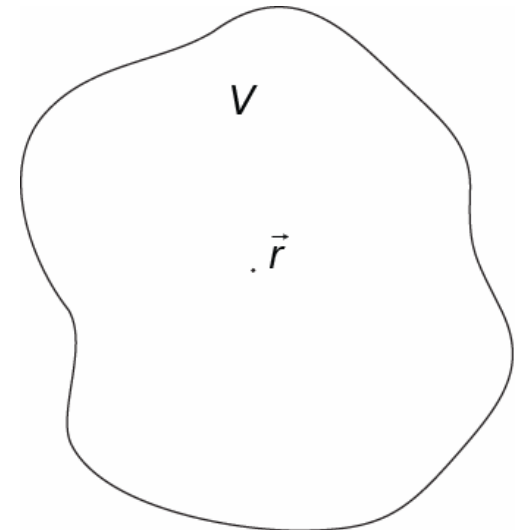
leidt tot Navier-Stokes vergelijking

Balansvergelijkingen

Entropiebalans

$$\frac{dm_V s}{dt} + \Delta s \dot{m}_{\partial V} = \frac{\dot{Q}}{T} + m_V \sigma$$

met (specifieke) entropieproductie



$$\sigma = \sum_k X_k J_k$$

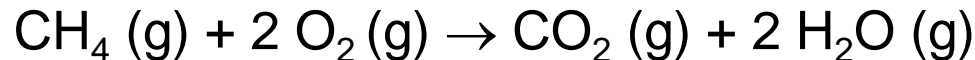
en (vaak) lineaire kracht-flux-relaties

$$\begin{pmatrix} J_1 \\ J_2 \\ \vdots \end{pmatrix} = \begin{pmatrix} L_{11} & L_{12} & \dots \\ L_{21} & L_{22} & \dots \\ \vdots & \vdots & \ddots \end{pmatrix} \begin{pmatrix} X_1 \\ X_2 \\ \vdots \end{pmatrix}$$

Toepassingen

Adiabatische vlamtemperatuur

- reactie



- energiebalans

$$\frac{dm_v u}{dt} + \Delta \left[\left(h + \frac{1}{2} v^2 + gh \right) \dot{m}_{\partial V} \right] = \dot{Q} + \dot{W}$$



$$\Delta h \dot{m}_{\partial V} = 0$$



Toepassingen

Adiabatische vlamtemperatuur

- vóór reactie, bij 25 °C
 - voor verbranding
 - 1 mol CH₄
 - 2 mol O₂
 - 20% overmaat lucht
 - 0.2 x 2 mol = 0.4 mol O₂
 - 2.4 x (79/21) mol = 9.03 mol N₂
- ná reactie, bij temperatuur T
 - 1 mol CO₂
 - 2 mol H₂O
 - 0.4 mol O₂
 - 9.03 mol N₂
- Oplossing: $T = 2066 \text{ K}$

$$H_{\text{voor}} = \begin{pmatrix} 1 \\ 2.4 \\ 0 \\ 0 \\ 9.03 \end{pmatrix} \cdot \begin{pmatrix} \Delta H_{\text{CH}_4}^\ominus \\ \Delta H_{\text{O}_2}^\ominus \\ \Delta H_{\text{CO}_2}^\ominus \\ \Delta H_{\text{H}_2\text{O}}^\ominus \\ \Delta H_{\text{N}_2}^\ominus \end{pmatrix} = -74.5 \text{ kJ}$$

$$H_{\text{na}} = \begin{pmatrix} 0 \\ 0.4 \\ 1 \\ 2 \\ 9.03 \end{pmatrix} \cdot \begin{pmatrix} \Delta H_{\text{CH}_4}^\ominus \\ \Delta H_{\text{O}_2}^\ominus \\ \Delta H_{\text{CO}_2}^\ominus \\ \Delta H_{\text{H}_2\text{O}}^\ominus \\ \Delta H_{\text{N}_2}^\ominus \end{pmatrix} + (T - T^\ominus) \begin{pmatrix} C_{p,\text{CH}_4} \\ C_{p,\text{O}_2} \\ C_{p,\text{CO}_2} \\ C_{p,\text{H}_2\text{O}} \\ C_{p,\text{N}_2} \end{pmatrix} = -877.1 + (T - 298) \times 453.9 \text{ J}$$



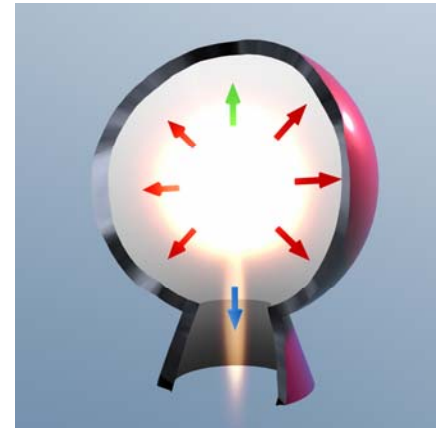
Toepassingen

Raketmotor

$$\frac{dm_v u}{dt} + \Delta \left[\left(h + \frac{1}{2} v^2 + gh \right) \dot{m}_{\partial V} \right] = \dot{Q} + \dot{W}$$

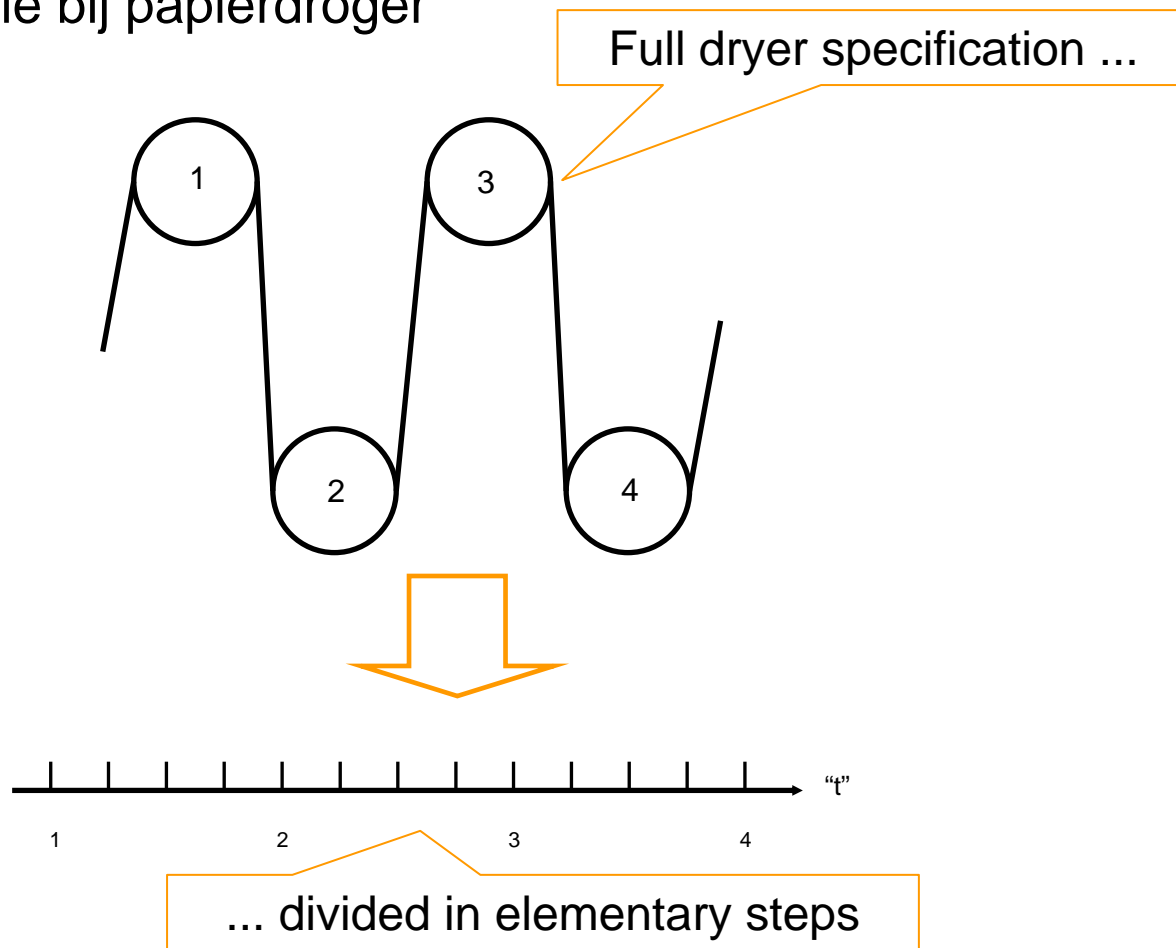


$$\Delta \left[\left(h + \frac{1}{2} v^2 \right) \dot{m}_{\partial V} \right] = 0$$



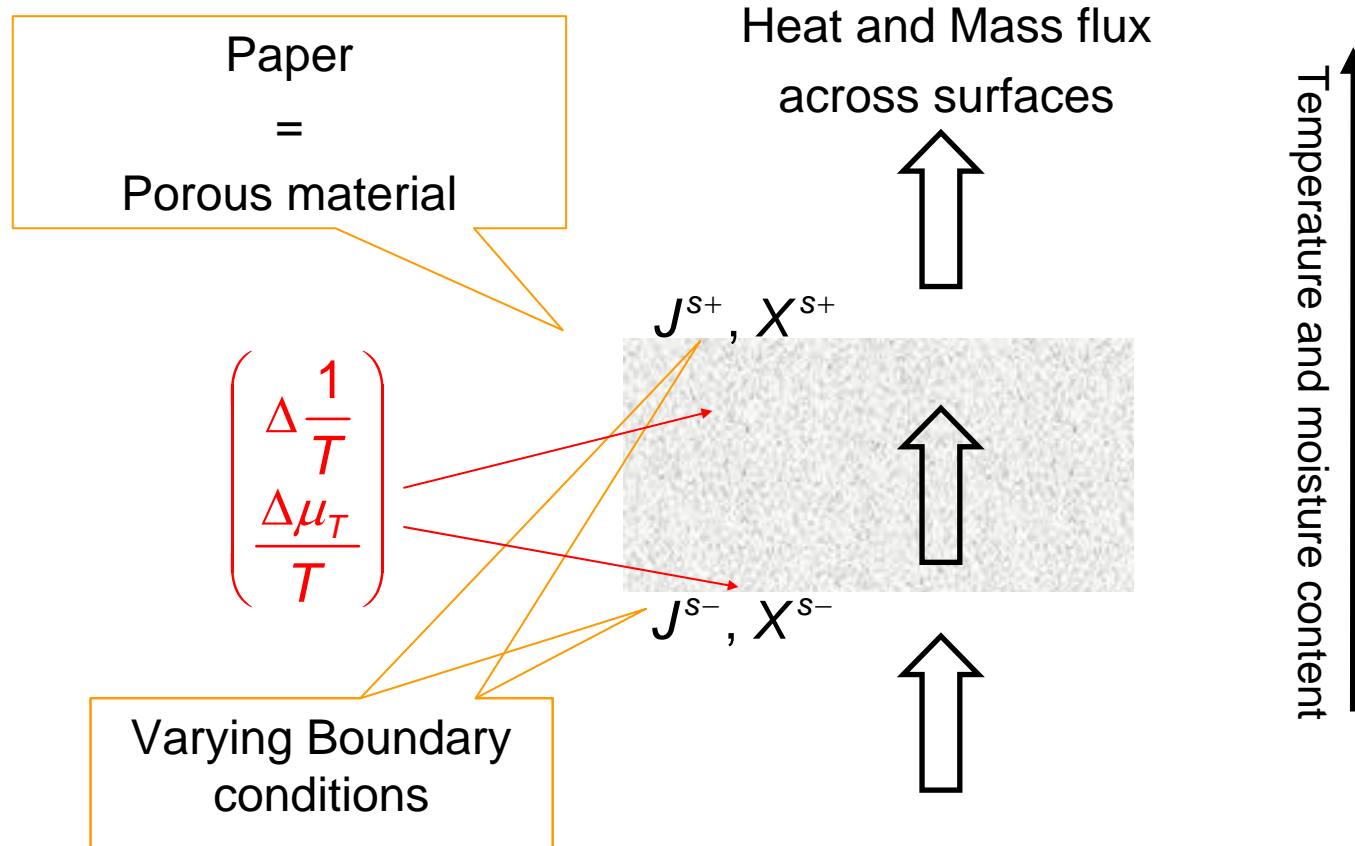
Toepassingen

Entropieproductie bij papierdroger



Toepassingen

Entropieproductie bij papierdroger



Toepassingen

Entropieproductie bij papierdroger

Bijdragen

- verdamping

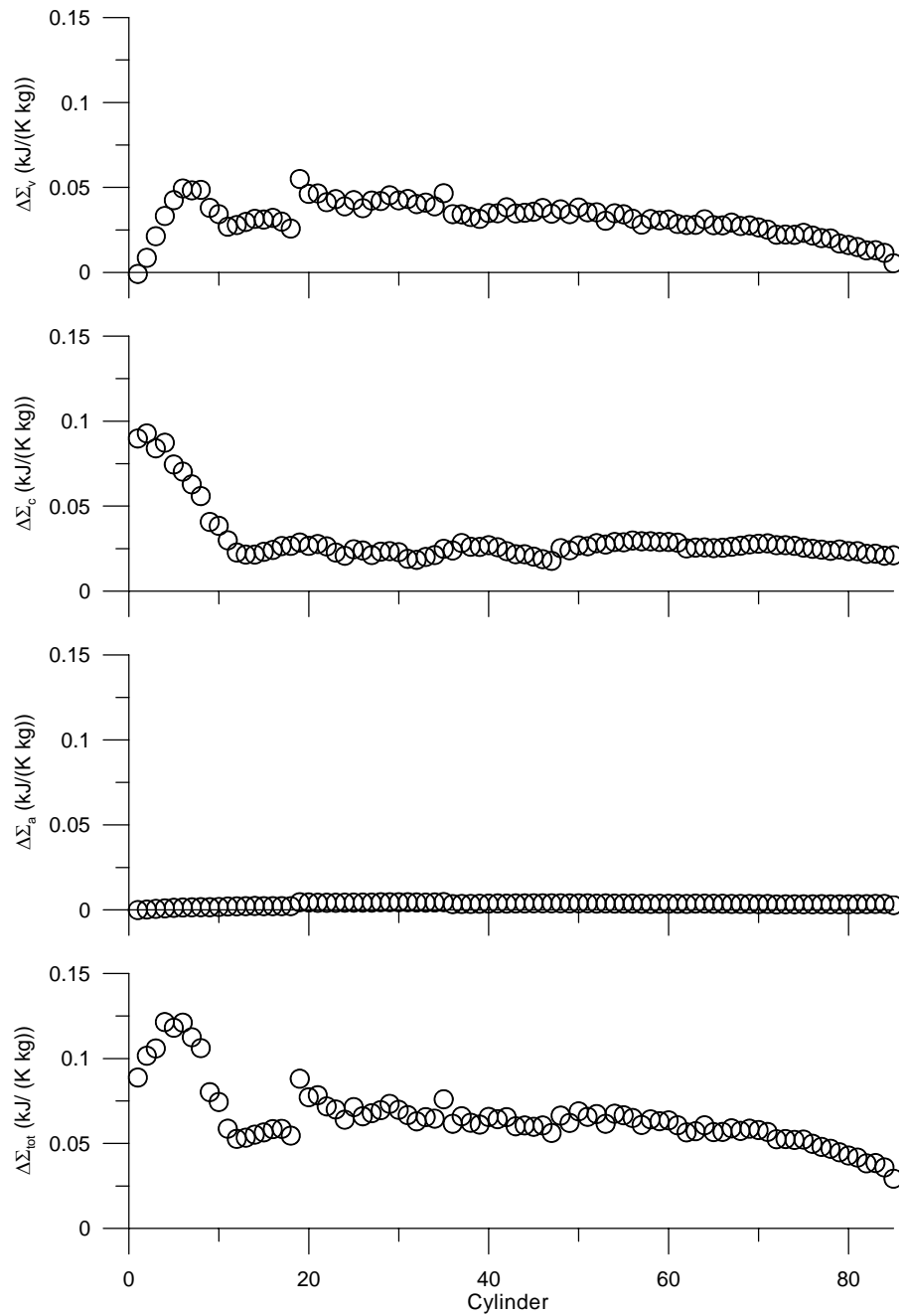
$$\sigma_v = -J_w R \ln \frac{p_w}{p_{pw}^*}$$

- cylinderverwarming

$$\sigma_c = -J'_{qc} \left(\frac{1}{T_c} - \frac{1}{T_p} \right)$$

- Warmte-afgifte

$$\sigma_a = -J'_{qa} \left(\frac{1}{T_p} - \frac{1}{T_a} \right)$$



Toepassingen

Entropieproductie bij papierdroger

- “Lost work” ongeveer 20% totale energiekosten !

Total entropy production per kg dry paper, its components and the lost work assuming an environmental temperature of 300 K

Paper machine	Evaporation (kJ/kg K)	Conduction (kJ/kg K)	Convection (kJ/kg K)	Total (kJ/kg K)	Lost work (kJ/kg)
LB183	0.75	0.90	0.04	1.69	507
LB205	0.79	0.90	0.01	1.69	507
LB337	0.94	1.20	0.11	2.26	678
NP1	0.37	0.59	0.10	1.06	318
NP2	0.58	0.81	0.03	1.42	426